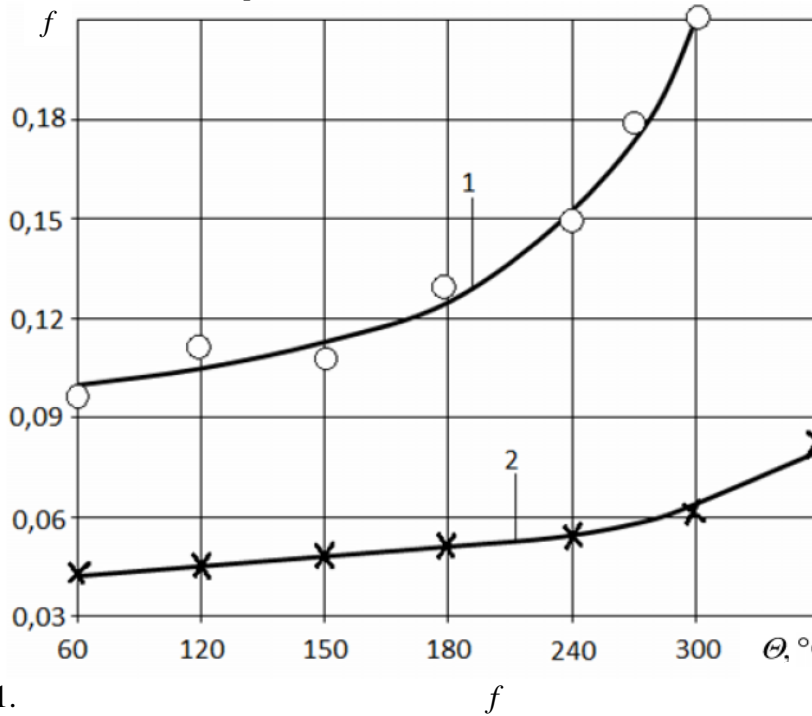


, 0,3 – 0,5 , , 80-90%
 ,
 ,
 (. 1).

I , V ,

$$\begin{aligned}
 &= 0,2 - 1,0 ; V = 0,1 - 0,5 / ; = 50 - 150^\circ ; \\
 &I = 4,754 p^{0,792} V^{0,426 \cdot 0,275} / ; \\
 &= 1,0 - 1,5 ; V = 0,5 - 1,0 / ; = 150 - 250^\circ ; \\
 &I = 5,947 p^{0,704} V^{0,434 \cdot 0,361} / ; \\
 &= 1,5 - 2,5 ; V = 1,0 - 2,0 / ; = 250 - 400^\circ ; \\
 &I = 6,1284 p^{0,753} V^{0,486 \cdot 0,412} / .
 \end{aligned}
 \tag{1}$$



. 1. (1) (2): = 0,5 , $V =$
 0,2 /

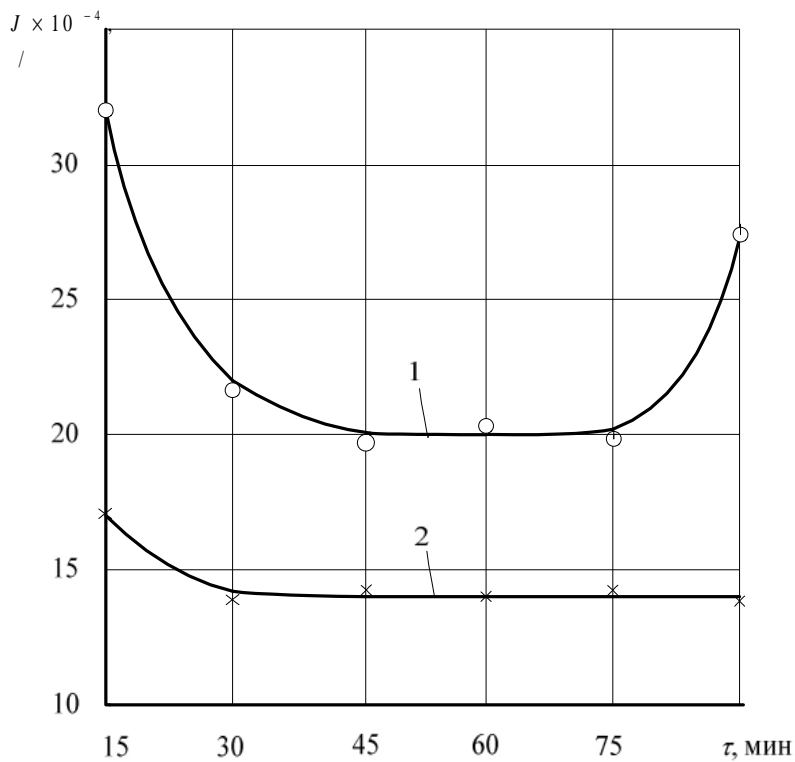
«Quanta-200».

2):

[4],

$$W_e = \frac{952,7\theta^2}{(\Delta f + \Delta f^*)^4} \sigma^3, \quad (2)$$

f f^* – « »
 ; – ,
 ; – .



« 20 2 – 20 2 » I : 1 – ;
 2 – (= 0,8 ; $V_c = 0,5$ / ; = 200) ;

(Ra, (i, μ) R V):

$$\begin{aligned}
 Ra &= 3,385 + 0,000007 \cdot i^2 - 0,04385 \cdot i + 0,0034 \cdot p^2 - 0,0136 \cdot p + 0,746 \cdot R^2 - 2,245 R ; \\
 &= -74 - 0,478 \cdot -7,65 \cdot R^2 - 0,315 \cdot R ; \\
 \mu &= 864,145 + {}^{0,0022} - R \quad 0,335 - V^{0,021} + (p \cdot R)^{0,005} .
 \end{aligned}
 \tag{3}$$

1,6 - 2

1. / -
2. , 2011. - 385 . 2201323 -
3. / , - . 9, 2003. 2234405 /
4. - . 23, 2004. : , 2016. - 219 .

04.05.2016 .